

Starkniederschlagshöhen und -spenden gemäß KOSTRA-DWD-2020

Rasterfeld 207109

(Zeile 207, Spalte 109)

Regenspende und Bemessungsniederschlagswerte in Abhängigkeit von Wiederkehrzeit T und Dauerstufe D

| Dauerstufe D | | Wiederkehrzeit T | | | | | | | | | | | | | | | | | |
|--------------|-----|------------------|------------|------|------------|------|------------|------|------------|-------|------------|-------|------------|-------|------------|-------|------------|-------|------------|
| | | 1 a | | 2 a | | 3 a | | 5 a | | 10 a | | 20 a | | 30 a | | 50 a | | 100 a | |
| min | Std | mm | l / (s ha) | mm | l / (s ha) | mm | l / (s ha) | mm | l / (s ha) | mm | l / (s ha) | mm | l / (s ha) | mm | l / (s ha) | mm | l / (s ha) | mm | l / (s ha) |
| 5 | | 7,8 | 260,0 | 9,4 | 313,3 | 10,4 | 346,7 | 11,7 | 390,0 | 13,6 | 453,3 | 15,5 | 516,7 | 16,8 | 560,0 | 18,5 | 616,7 | 20,9 | 696,7 |
| 10 | | 10,5 | 175,0 | 12,7 | 211,7 | 14,1 | 235,0 | 15,8 | 263,3 | 18,4 | 306,7 | 21,0 | 350,0 | 22,7 | 378,3 | 25,0 | 416,7 | 28,2 | 470,0 |
| 15 | | 12,2 | 135,6 | 14,7 | 163,3 | 16,3 | 181,1 | 18,4 | 204,4 | 21,3 | 236,7 | 24,4 | 271,1 | 26,4 | 293,3 | 29,0 | 322,2 | 32,7 | 363,3 |
| 20 | | 13,5 | 112,5 | 16,2 | 135,0 | 18,0 | 150,0 | 20,2 | 168,3 | 23,5 | 195,8 | 26,8 | 223,3 | 29,0 | 241,7 | 31,9 | 265,8 | 36,0 | 300,0 |
| 30 | | 15,3 | 85,0 | 18,4 | 102,2 | 20,4 | 113,3 | 22,9 | 127,2 | 26,6 | 147,8 | 30,4 | 168,9 | 32,9 | 182,8 | 36,2 | 201,1 | 40,9 | 227,2 |
| 45 | | 17,1 | 63,3 | 20,7 | 76,7 | 22,9 | 84,8 | 25,8 | 95,6 | 29,9 | 110,7 | 34,2 | 126,7 | 37,0 | 137,0 | 40,7 | 150,7 | 45,9 | 170,0 |
| 60 | 1 | 18,6 | 51,7 | 22,4 | 62,2 | 24,8 | 68,9 | 27,9 | 77,5 | 32,4 | 90,0 | 37,0 | 102,8 | 40,0 | 111,1 | 44,0 | 122,2 | 49,7 | 138,1 |
| 90 | 1,5 | 20,7 | 38,3 | 24,9 | 46,1 | 27,6 | 51,1 | 31,0 | 57,4 | 36,0 | 66,7 | 41,2 | 76,3 | 44,6 | 82,6 | 49,0 | 90,7 | 55,3 | 102,4 |
| 120 | 2 | 22,3 | 31,0 | 26,9 | 37,4 | 29,7 | 41,3 | 33,4 | 46,4 | 38,8 | 53,9 | 44,4 | 61,7 | 48,0 | 66,7 | 52,8 | 73,3 | 59,6 | 82,8 |
| 180 | 3 | 24,7 | 22,9 | 29,8 | 27,6 | 32,9 | 30,5 | 37,1 | 34,4 | 43,0 | 39,8 | 49,2 | 45,6 | 53,2 | 49,3 | 58,5 | 54,2 | 66,1 | 61,2 |
| 240 | 4 | 26,5 | 18,4 | 32,0 | 22,2 | 35,4 | 24,6 | 39,8 | 27,6 | 46,2 | 32,1 | 52,8 | 36,7 | 57,2 | 39,7 | 62,8 | 43,6 | 71,0 | 49,3 |
| 360 | 6 | 29,3 | 13,6 | 35,4 | 16,4 | 39,1 | 18,1 | 44,0 | 20,4 | 51,1 | 23,7 | 58,4 | 27,0 | 63,2 | 29,3 | 69,5 | 32,2 | 78,5 | 36,3 |
| 540 | 9 | 32,4 | 10,0 | 39,0 | 12,0 | 43,2 | 13,3 | 48,6 | 15,0 | 56,4 | 17,4 | 64,5 | 19,9 | 69,8 | 21,5 | 76,7 | 23,7 | 86,7 | 26,8 |
| 720 | 12 | 34,7 | 8,0 | 41,9 | 9,7 | 46,3 | 10,7 | 52,2 | 12,1 | 60,6 | 14,0 | 69,2 | 16,0 | 74,9 | 17,3 | 82,3 | 19,1 | 93,0 | 21,5 |
| 1080 | 18 | 38,3 | 5,9 | 46,2 | 7,1 | 51,1 | 7,9 | 57,6 | 8,9 | 66,8 | 10,3 | 76,4 | 11,8 | 82,6 | 12,7 | 90,8 | 14,0 | 102,6 | 15,8 |
| 1440 | 24 | 41,1 | 4,8 | 49,6 | 5,7 | 54,8 | 6,3 | 61,7 | 7,1 | 71,7 | 8,3 | 81,9 | 9,5 | 88,6 | 10,3 | 97,4 | 11,3 | 110,0 | 12,7 |
| 2880 | 48 | 48,6 | 2,8 | 58,6 | 3,4 | 64,8 | 3,8 | 73,0 | 4,2 | 84,7 | 4,9 | 96,9 | 5,6 | 104,8 | 6,1 | 115,2 | 6,7 | 130,1 | 7,5 |
| 4320 | 72 | 53,6 | 2,1 | 64,6 | 2,5 | 71,5 | 2,8 | 80,5 | 3,1 | 93,5 | 3,6 | 106,8 | 4,1 | 115,6 | 4,5 | 127,0 | 4,9 | 143,5 | 5,5 |
| 5760 | 96 | 57,4 | 1,7 | 69,3 | 2,0 | 76,6 | 2,2 | 86,3 | 2,5 | 100,2 | 2,9 | 114,5 | 3,3 | 123,9 | 3,6 | 136,2 | 3,9 | 153,8 | 4,5 |
| 7200 | 120 | 60,6 | 1,4 | 73,1 | 1,7 | 80,9 | 1,9 | 91,1 | 2,1 | 105,7 | 2,4 | 120,8 | 2,8 | 130,7 | 3,0 | 143,7 | 3,3 | 162,3 | 3,8 |
| 8640 | 144 | 63,3 | 1,2 | 76,4 | 1,5 | 84,5 | 1,6 | 95,2 | 1,8 | 110,5 | 2,1 | 126,3 | 2,4 | 136,6 | 2,6 | 150,2 | 2,9 | 169,6 | 3,3 |
| 10080 | 168 | 65,7 | 1,1 | 79,3 | 1,3 | 87,7 | 1,5 | 98,8 | 1,6 | 114,7 | 1,9 | 131,1 | 2,2 | 141,8 | 2,3 | 155,9 | 2,6 | 176,0 | 2,9 |

Starkniederschlagshöhen und -spenden gemäß KOSTRA-DWD-2020

Rasterfeld 207109

(Zeile 207, Spalte 109)

Örtliche Unsicherheiten in Abhängigkeit von Wiederkehrzeit T und Dauerstufe D

| Dauerstufe D | | Wiederkehrzeit T | | | | | | | | |
|--------------|-----|------------------|-----|-----|-----|------|------|------|------|-------|
| | | 1 a | 2 a | 3 a | 5 a | 10 a | 20 a | 30 a | 50 a | 100 a |
| min | Std | ± % | ± % | ± % | ± % | ± % | ± % | ± % | ± % | ± % |
| 5 | | 12 | 13 | 13 | 13 | 14 | 14 | 14 | 15 | 15 |
| 10 | | 16 | 17 | 17 | 18 | 19 | 19 | 19 | 20 | 20 |
| 15 | | 19 | 19 | 20 | 21 | 21 | 22 | 22 | 22 | 23 |
| 20 | | 20 | 21 | 21 | 22 | 22 | 23 | 23 | 24 | 24 |
| 30 | | 21 | 22 | 23 | 23 | 24 | 24 | 25 | 25 | 25 |
| 45 | | 21 | 22 | 23 | 24 | 24 | 25 | 25 | 25 | 26 |
| 60 | 1 | 21 | 22 | 23 | 24 | 24 | 25 | 25 | 25 | 26 |
| 90 | 1,5 | 21 | 22 | 22 | 23 | 24 | 24 | 25 | 25 | 25 |
| 120 | 2 | 20 | 21 | 22 | 23 | 23 | 24 | 24 | 24 | 25 |
| 180 | 3 | 19 | 20 | 21 | 22 | 22 | 23 | 23 | 23 | 24 |
| 240 | 4 | 19 | 20 | 20 | 21 | 22 | 22 | 22 | 23 | 23 |
| 360 | 6 | 18 | 19 | 19 | 20 | 20 | 21 | 21 | 22 | 22 |
| 540 | 9 | 17 | 18 | 18 | 19 | 19 | 20 | 20 | 21 | 21 |
| 720 | 12 | 16 | 17 | 17 | 18 | 19 | 19 | 19 | 20 | 20 |
| 1080 | 18 | 15 | 16 | 16 | 17 | 18 | 18 | 18 | 19 | 19 |
| 1440 | 24 | 15 | 15 | 16 | 16 | 17 | 17 | 18 | 18 | 18 |
| 2880 | 48 | 14 | 15 | 15 | 15 | 16 | 16 | 16 | 17 | 17 |
| 4320 | 72 | 14 | 14 | 14 | 15 | 15 | 16 | 16 | 16 | 16 |
| 5760 | 96 | 14 | 14 | 14 | 15 | 15 | 15 | 16 | 16 | 16 |
| 7200 | 120 | 14 | 14 | 14 | 15 | 15 | 15 | 16 | 16 | 16 |
| 8640 | 144 | 14 | 14 | 15 | 15 | 15 | 15 | 15 | 16 | 16 |
| 10080 | 168 | 15 | 15 | 15 | 15 | 15 | 15 | 16 | 16 | 16 |

Parameter für abweichende T und D

Lokationsparameter ξ (Xi)

19,13296451

Skalenparameter α (Alpha)

5,49039098

Formparameter κ (Kappa)

-0,1

1. Koutsoyiannis-Parameter θ (Theta)

0,04026789

2. Koutsoyiannis-Parameter η (Eta)

0,75895529

Parameter für dauerstufenübergreifende Extremwertschätzung nach KOUTSOYIANNIS et al. 1998.

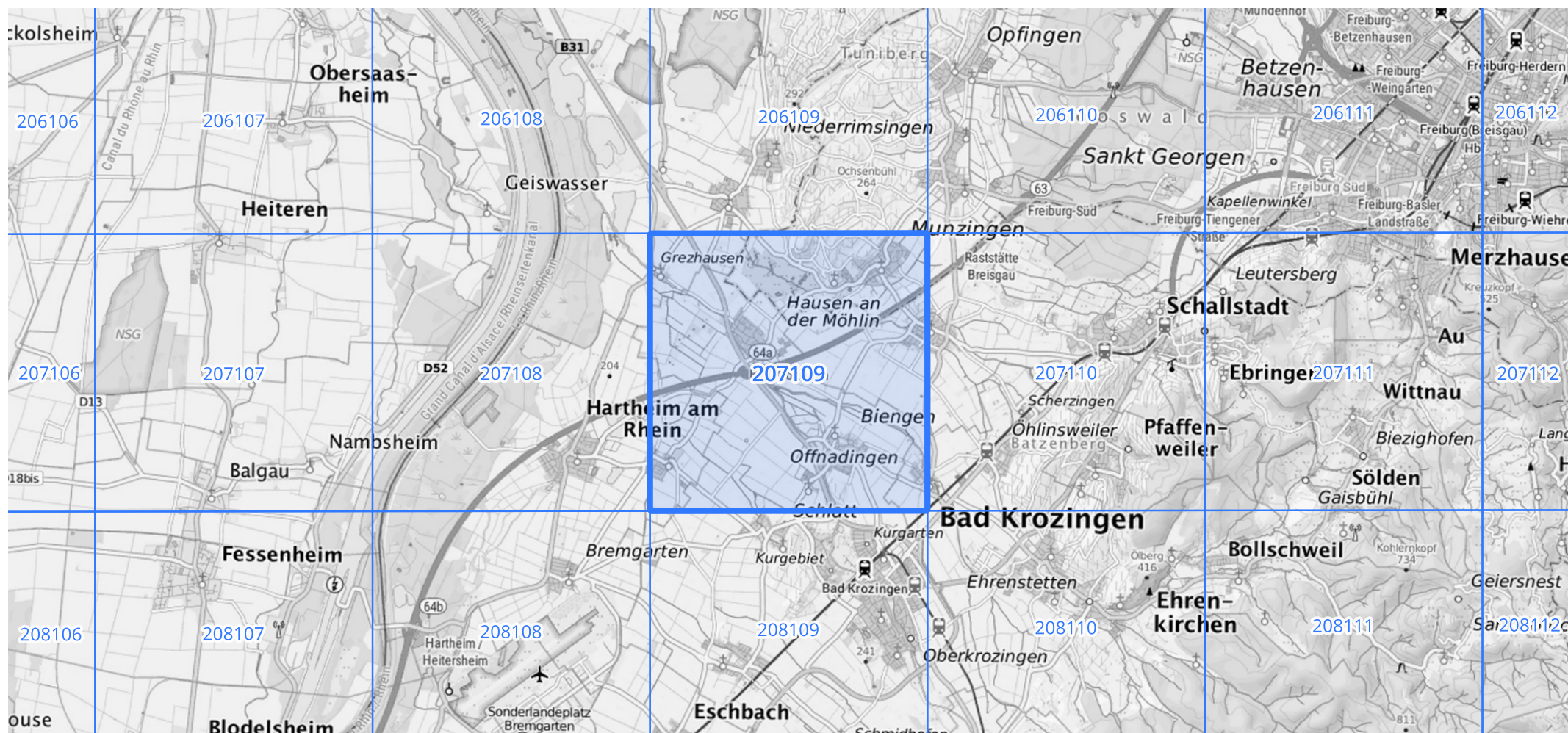
Siehe auch Anwendungshilfe zu KOSTRA-DWD-2020 des Deutschen Wetterdienstes.

Starkniederschlagshöhen und -spenden gemäß KOSTRA-DWD-2020

Rasterfeld 207109

(Zeile 207, Spalte 109)

Übersichtskarte des Rasterfeldes 207109, M 1 : 100 000



Quelle Rasterdaten: KOSTRA-DWD-2020 des Deutschen Wetterdienstes, Stand 12/2022.

Seite 3 von 3

Kartendarstellung: © Bundesamt für Kartographie und Geodäsie (2023), Datenquellen: https://sgx.geodatenzentrum.de/web_public/gdz/datenquellen/Datenquellen_TopPlusOpen.html

Für die Richtigkeit und Aktualität der Angaben wird keine Gewähr übernommen. Erstellt 01/2023.